

## 地盤の表面波に関する基礎的研究

A study of the surface wave on the ground

北海学園大学工学部 ○学生員 吉田剛(Takeshi Yoshida)  
 北海学園大学大学院 学生員 中山真吾(Shingo Nakayama)  
 北海学園大学工学部 正員 上浦正樹(Masaki Mamiura)

### 1. はじめに

現在、地盤の評価を行なう手法としては、破壊試験、非破壊試験とがある。破壊試験では、多大な労力、時間を消費するとともに、調査ポイントが限定されるなど問題があることから、非破壊試験が行なわれるようになってきている。非破壊試験は、超音波探傷試験、浸透探傷試験、放射線投下試験などがある。そこで、非破壊試験器の1つであるFWD(Falling Weight Deflectometer)に注目する。諸外国において、FWDは舗装の支持力を評価する非破壊試験器の「たわみ測定装置」として標準装置となってきており、約300台以上が稼動している状況である。FWDは、地盤や土構造物の構造評価に適応可能であるが、主に小型FWDが使用されることが多い。小型FWDは、FWDに比べ、安価で運搬に優れている特徴がある。FWDは大型であるために試験場所が限定されてしまう。そこで、本研究では小型FWDに注目する。

今回の試験で使用する小型FWDは、外部センサが2台あり、内部に変位計測用の加速度センサが内臓されおり、加速度を測定することができる。小型FWDの外部センサで測定される加速度は、地盤表面を伝わってきたものなのか、それとも地盤内を伝わってきたものなのかは、確かでないことから、小型FWDの外部センサから測定される加速度に着目し、検証をする。

### 2. 試験概要

本試験では、図-1のように、1つ目の実験として、小型FWD本体と一直線上に2台の外部センサを任意の距離に設置する。同様に、上部に加速度計を接着させた2本の金属棒(長さ275mm、直径10mm、材質は鉄)を、小型FWDの外部センサと同じ距離に設置する。金属棒を深さ100mm打ち込む。2つ目の実験として、上記と同様に金属棒を深さ250mm打ち込む。3つ目の実験として、上記の実験と同様に、上部に加速度計を接着させた2個の画鋲(直径10mm)を設置する。3つの実験とも、小型FWD本体の重錘を各測点において3回落下させ、小型FWDの外部センサと加速度計から加速度を測定する。

小型FWD本体から第1外部センサまでの距離をX1とし、第1外部センサから第2外部センサまでの距離をX2とする。設置位置は表-1のようにX1を200mmまたは、300mmに固定し、X2をX1から100mm間隔で設置する。小型FWDのサンプリング間隔は0.05ms、加速度計のサンプリング間隔は0.10msである。

気温10.0°C、地盤温度は8.2°Cである。土の湿潤単位体積重量は1.9KN/m<sup>3</sup>、土の乾燥単位体積重量は1.7KN/m<sup>3</sup>である。

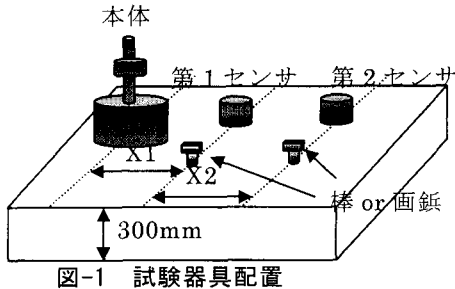


図-1 試験器具配置

表-1 小型FWDの外部センサと加速度計の設置位置

X1(mm)	X2(mm)
200	100, 200, 300, 400, 500, 600, 700, 800, 900, 1000
300	100, 200, 300, 400, 500, 600, 700, 800, 900

### 3. 解析方法

#### 3. 1 加速度波形を用いた解析

図-2に示す、小型FWDの第1外部センサ、第2外部センサで計測された加速度波形から、その波形の立ち上がり始める値での時間を選定することで外部センサ間の時間差 $\Delta t$ が得られる(式1)。この時間差 $\Delta t$ と第1、第2外部センサ間の距離X2から、速度 $V_s$ が算出される(式2)。

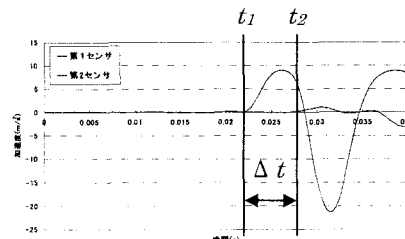


図-2 小型FWDの第1、第2外部センサの加速度波形

$$\Delta t = t_2 - t_1 \quad (\text{s}) \quad (1)$$

$$V_s = \frac{X2}{\Delta t} \quad (\text{m/s}) \quad (2)$$

加速度計の速度を算出するときには、画鋲に加速度計を接着したときのみ、上記と同様に行なう。ただし、金属棒に加速度計を接着させたとき、加速度計は、小型FWD本体の載荷点から、金属棒の最下部に伝播する加速度を測定し、小型FWD本体の載荷点から金属棒の最

下部までの距離をそれぞれ  $L_1, L_2$  として、金属棒間の距離を  $\Delta l$  とする。加速度計の加速度波形から得られる時間差  $\Delta t$  から、速度  $V''_s$  が算出される(式 3)<sup>1)</sup>。

$$V''_s = \frac{\Delta l}{\Delta t} \quad (\text{m/s}) \quad (3)$$

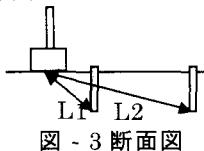


図-3 断面図

### 3. 2 $K_{30}$ 値による解析

小型 FWD の第 1 第 2 外部センサ間の距離  $X_2$  と  $\Delta t$  から得られる速度  $V'_s$  について検証を行う。小型 FWD の  $K_{30}$  値を求める(式 4)。 $K_{30}$  値と  $N$  値が 10 : 1 の関係であることから、 $N$  値が得られる。その  $N$  値から、 $V_s$  を求める(式 5)<sup>2),3)</sup>。

$$K_{30} = \frac{P}{\pi r^2 D} \times \frac{R}{R_{300}} \times 10^3 \quad (\text{MN/m}^3) \quad (4)$$

$K_{30}$ :TML 式小型 FWD システムによる地盤反力係数  
P:荷重(N),D:変位(mm),  
r:載荷板半径(mm),R:載荷板直径(mm)  
R300:基準載荷板( $\phi 300\text{mm}$ )の直径

$$V_s = 91.0 \times N^{0.337} \quad (\text{m/s}) \quad (5)$$

### 4. 解析結果

小型 FWD の第 1, 第 2 外部センサから求まる  $V'_s$  を、 $N$  値から求まる  $V_s$  と比較すると、図-4 のように  $V'_s$  にはバラツキがある。しかし、近似線を挿入することにより、 $V'_s$  と  $V_s$  は、類似した近似線が得られる。小型 FWD の第 1, 第 2 外部センサの距離間と時間差の関係から求まる  $V'_s$  は、 $V'_s \approx V_s$  であると考えられる。

図-5、図-6 より小型 FWD の外部センサから求められる速度は、画鋲を設置した場合と、地盤内に金属棒を深さ 100mm 打ち込んだ場合に求められる速度と近似していると考えられる。図-7 のように地盤内に金属棒を深さ 250mm 打ち込んだ場合に求められる速度は小型 FWD の外部センサから求まる速度とは、異なるものである。そのため、小型 FWD の外部センサは、地盤表面を伝播する加速度を測定することができると思われる。また、この外部センサは 250mm の深さにおいて測定された加速度は異なるものと考えられる。

### 5. おわりに

小型 FWD の第 1, 第 2 外部センサから求められる速度  $V'_s$  は、図-4 より、第 2 外部センサの設置位置  $X_2$  が 500mm から 600mm の速度  $V'_s$  と  $N$  値から求まる速度  $V_s$  は、ほぼ同値が得られた。

図-5、図-6 より小型 FWD の外部センサから求められ速度は、画鋲を設置した場合と、地盤内に金属棒を深さ 100mm 打ち込んだ場合に求められる速度とはほぼ同一の近似線がえられる。

小型 FWD の外部センサを小型 FWD 本体の近くで設置した場合や、遠くに設置した場合に  $\Delta t$  にバラツキが生じる。このバラツキについて今後検討をする。

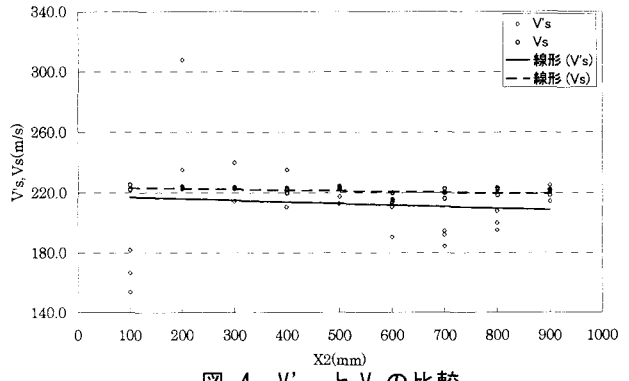


図-4  $V'_s$  と  $V_s$  の比較

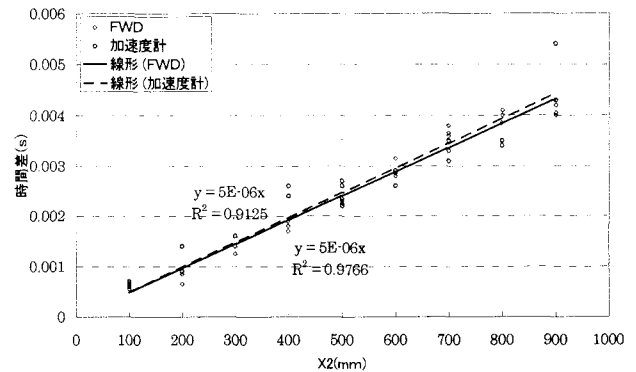


図-5 画鋲,  $X_1: 300\text{mm}$ ,  $X_2$  と  $\Delta t$  の関係

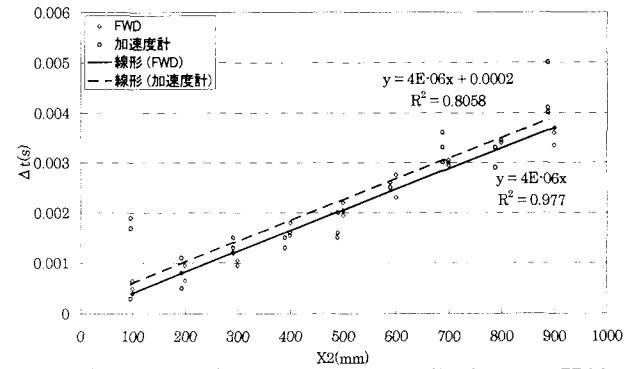


図-6 金属棒棒深さ 100mm,  $X_1: 300\text{mm}$ ,  $X_2$  と  $\Delta t$  の関係

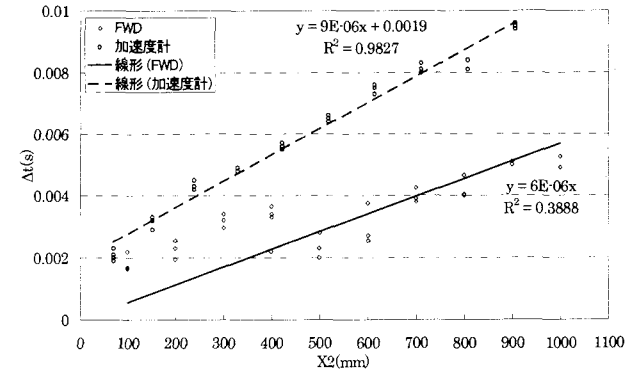


図-7 金属棒棒深さ 250mm,  $X_1: 200\text{mm}$ ,  $X_2$  と  $\Delta t$  の関係

### 参考文献

- 1) 岩崎敏男, 嶋津晃臣, 土と基礎の振動: 鹿島出版会, pp94-96, 1975.
- 2) 社団法人地盤工学会, 地盤調査法: pp360, 2001.
- 3) 社団法人地盤工学会, 地盤工学ハンドブック: pp217-235, 1999.